

6.3.2 Prúty s konštantným prierezom namáhané ohybom

6.3.2.1 Vzperná odolnosť

(1) Prúty namáhané ohybom v rovine väčšej tuhosti, ktoré nie sú podopreté proti vybočeniu, sa majú overiť na stratu stability klopením nasledujúcim spôsobom:

$$\frac{M_{Ed}}{M_{b,Rd}} \leq 1,0 \quad (6.54)$$

kde M_{Ed} je návrhová hodnota momentu;

$M_{b,Rd}$ návrhový moment vzpernej odolnosti.

(2) Nosníky s dostatočným bočným podopretím tlačenej pásnice nie sú citlivé na stratu stability klopením. Okrem nich nie sú na stratu stability klopením citlivé ani nosníky s určitými typmi prierezov, ako sú hranaté alebo kruhové duté profily, zvarané kruhové rúrky alebo hranaté komorové prierezy.

(3) Návrhový moment vzpernej odolnosti nosníka nepodopretého proti vybočeniu sa má určiť takto:

$$M_{b,Rd} = \chi_{LT} W_y \frac{f_y}{\gamma_{M1}} \quad (6.55)$$

kde W_y je príslušný prierezový modul, ktorý sa určí takto:

– $W_y = W_{pl,y}$ pre prierezy triedy 1 alebo 2

– $W_y = W_{el,y}$ prierezy triedy 3

– $W_y = W_{eff,y}$ pre prierezy triedy 4

χ_{LT} súčiniteľ klopenia pri strate stability klopením.

POZNÁMKA 1. – Na určenie momentu vzpernej odolnosti nosníkov s premennými prierezmi sa môže vykonať analýza druhého rádu podľa o 5.3.4(3). Stratu stability pretvorením z roviny pozri tiež v 6.3.4.

POZNÁMKA 2B. – Stratu stability prvkov konštrukcii budov pozri tiež v prílohe BB.

(4) Pri určovaní W_y sa nemusia uvažovať diery pre spojovacie prostriedky na koncoch nosníka.

6.3.2.2 Vzperné krivky klopenia – všeobecný prípad

(1) Pokiaľ to nie je stanovené inakšie (pozri 6.3.2.3), má sa hodnota χ_{LT} ohýbaných prútov s konštantným prierezom určiť pre príslušnú pomernú štíhlosť $\bar{\lambda}_{LT}$ zo vzorcov:

$$\chi_{LT} = \frac{1}{\Phi_{LT} + \sqrt{\Phi_{LT}^2 - \bar{\lambda}_{LT}^2}} \quad \text{ale } \chi_{LT} \leq 1,0 \quad (6.56)$$

kde $\Phi_{LT} = 0,5 \left[1 + \alpha_{LT} (\bar{\lambda}_{LT} - 0,2) + \bar{\lambda}_{LT}^2 \right]$;

α_{LT} je miera imperfekcie;

$$\bar{\lambda}_{LT} = \sqrt{\frac{W_y f_y}{M_{cr}}}$$

M_{cr} kritický moment v pružnom stave pri strate stability klopením.

(2) M_{cr} sa určí pomocou charakteristík neoslabeného prierezu so zohľadnením podmienok zaťaženia, skutočného priebehu momentov a podopretia proti vybočeniu.

POZNÁMKA. – Hodnota miery imperfekcie α_{LT} zodpovedajúcej príslušnej vzpernej krivke sa môže uvážiť podľa národnej prílohy. Odporúčané hodnoty α_{LT} sú uvedené v tabuľke 6.3.

Tabuľka 6.3 – Odporúčané hodnoty miery imperfekcie pre vzperné krivky klopenia

Vzperná krivka	a	b	c	d
Miera imperfekcie α_{LT}	0,21	0,34	0,49	0,76

Odporúčané priradenia vzperných kriviek sú dané v tabuľke 6.4.

Tabuľka 6.4 – Odporúčané priradenia vzperných kriviek klopenia k prierezom pri použití výrazu (6.56)

Prierez	Medze	Vzperná krivka
Valcované I-profily	$h/b \leq 2$	a
	$h/b > 2$	b
Zvarané I-profily	$h/b \leq 2$	c
	$h/b > 2$	d
Iné prierezy	–	d

(3) Hodnoty súčiniteľa klopenia χ_{LT} pre príslušnú pomernú štíhlosť $\bar{\lambda}_{LT}$ sa môžu brať do úvahy podľa obrázka 6.4.

(4) Pre štíhlosti $\bar{\lambda}_{LT} \leq \bar{\lambda}_{LT,0}$ (pozri 6.3.2.3) alebo pre $\frac{M_{Ed}}{M_{cr}} \leq \bar{\lambda}_{LT,0}^2$ (pozri 6.3.2.3) sa môžu účinky straty stability klopením zanedbať a vykonajú sa iba posúdenia prierezu.

6.3.2.3 Vzperné krivky klopenia pre valcované profily alebo ekvivalentné zvárané profily

(1) Pre valcované alebo ekvivalentné zvárané profily namáhané ohybom sa hodnoty χ_{LT} pre príslušné pomerné štíhlosti môžu určiť zo vzorcov:

$$\chi_{LT} = \frac{1}{\Phi_{LT} + \sqrt{\Phi_{LT}^2 - \beta \bar{\lambda}_{LT}^2}} \text{ ale } \begin{cases} \chi_{LT} \leq 1,0 \\ \chi_{LT} \leq \frac{1}{\bar{\lambda}_{LT}^2} \end{cases} \quad (6.57)$$

$$\Phi_{LT} = 0,5 \left[1 + \alpha_{LT} (\bar{\lambda}_{LT} - \bar{\lambda}_{LT,0}) + \beta \bar{\lambda}_{LT}^2 \right]$$

POZNÁMKA. – Parametre $\bar{\lambda}_{LT,0}$ a β a ľubovoľné obmedzenie týkajúce sa výšky nosníka alebo pomeru h/b sa môžu stanoviť v národnej prílohe. Pre valcované profily alebo ekvivalentné zvárané profily sa odporúčajú tieto hodnoty:

$$\bar{\lambda}_{LT,0} = 0,4 \quad (\text{najväčšia hodnota})$$

$$\beta = 0,75 \quad (\text{najmenšia hodnota})$$

Odporúčania na priradenie vzperných kriviek sú uvedené v tabuľke 6.5.

Tabuľka 6.5 – Odporúčania na priradenie vzperných kriviek klopenia k prierezom pri použití výrazu (6.57)

Prierez	Medze	Vzperné krivky
Valcované I-profily	$h/b \leq 2$	b
	$h/b > 2$	c
Zvárané I-profily	$h/b \leq 2$	c
	$h/b > 2$	d

(2) Súčiniteľ klopenia χ_{LT} sa môže upraviť v závislosti od priebehu momentov medzi podopretiami prútov proti vybočeniu nasledujúcim spôsobom:


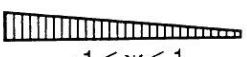






$$\chi_{LT,mod} = \frac{\chi_{LT}}{f} \text{ ale } \chi_{LT,mod} \leq 1 \quad (6.58)$$

POZNÁMKA. – Hodnoty f sa môžu definovať v národnej prílohe. Odporúča sa použiť tieto minimálne hodnoty:

$$f = 1 - 0,5(1 - k_c)[1 - 2,0(\bar{\lambda}_{LT} - 0,8)^2] \text{ ale } f \leq 1,0$$

k_c je opravný faktor podľa tabuľky 6.6.

Tabuľka 6.6 – Opravné faktory k_c

Priebeh momentov	k_c
 $\psi = 1$	1,0
 $-1 \leq \psi \leq 1$	$\frac{1}{1,33 - 0,33\psi}$
	0,94
	0,90
	0,91
	0,86
	0,77
	0,82

6.3.2.4 Metódy zjednodušeného posudzovania bočne podopretých nosníkov v budovách

(1)B Prúty, ktorých body tlačenej pásnice sú podopreté proti vybočeniu, nie sú citlivé na stratu stability klopením vtedy, ak dĺžka L_c medzi bočnými podopretiami alebo výsledná štíhlosť $\bar{\lambda}_t$ ekvivalentnej tlačenej pásnice spĺňajú podmienku:

$$\bar{\lambda}_t = \frac{k_c L_c}{i_{t,z} \lambda_1} \leq \bar{\lambda}_{c0} \frac{M_{c,Rd}}{M_{y,Ed}} \quad (6.59)$$

kde $M_{y,Ed}$ je najväčšia návrhová hodnota ohybového momentu na úseku medzi bočnými podopretiami;

$$M_{c,Rd} = W_y \frac{f_y}{\gamma_{M1}};$$

W_y prierezový modul zodpovedajúci tlačenej pásnici;

k_c opravný faktor štíhlosti pre priebeh momentu medzi bočnými podopretiami (pozri tabuľku 6.6);

$i_{t,z}$ polomer zotrvačnosti ekvivalentnej tlačenej pásnice, ktorú tvorí tlačená pásnica a 1/3 tlačenej časti plochy steny vztiahnutý na os najmenšej tuhosti prierezu;

$\bar{\lambda}_{c0}$ medzná štíhlosť vyššie definovanej ekvivalentnej tlačenej pásnice;

$$\lambda_1 = \pi \sqrt{\frac{E}{f_y}} = 93,9 \varepsilon;$$

$$\varepsilon = \sqrt{\frac{235}{f_y}} \quad (f_y \text{ v N/mm}^2).$$

POZNÁMKA 1B. – Pre prierez triedy 4 sa $i_{t,z}$ môže určiť zo vzorca:

$$i_{t,z} = \sqrt{\frac{I_{eff,t}}{A_{eff,t} + \frac{1}{3} A_{eff,w,c}}}$$

kde $I_{eff,t}$ je kvadratický moment plochy účinnej tlačenej pásnice k osi najmenšej tuhosti prierezu;

$A_{eff,t}$ plocha účinného prierezu tlačenej pásnice;

$A_{eff,w,c}$ plocha účinnej tlačenej časti steny.

POZNÁMKA 2B. – Medzná štíhlosť $\bar{\lambda}_{c0}$ sa môže definovať v národnej prílohe. Odporúča sa použiť medznú hodnotu $\bar{\lambda}_{c0} = \bar{\lambda}_{LT,0} + 0,1$ (pozri 6.3.2.3).

(2)B Ak štíhlosť tlačenej pásnice $\bar{\lambda}_t$ prekročí medznú hodnotu uvedenú v (1)B, návrhový moment vzpernej odolnosti sa môže stanoviť zo vzťahu:

$$M_{b,Rd} = k_{tr} \chi M_{c,Rd} \text{ ale } M_{b,Rd} \leq M_{c,Rd} \quad (6.60)$$

kde χ je súčiniteľ vzperu ekvivalentnej pásnice, ktorý sa určí pre $\bar{\lambda}_t$;

k_{tr} faktor úpravy zohľadňujúci konzervatívnosť metódy ekvivalentnej tlačenej pásnice.

POZNÁMKA B. – Faktor úpravy sa môže definovať v národnej prílohe. Odporúča sa použiť hodnotu $k_{tr} = 1,10$.

(3)B Vo výpočte podľa (2)B sa majú uvážiť nasledujúce vzperné krivky:

krivka d pre zvarané prierezy, ak $\frac{h}{t_f} \leq 44 \varepsilon^*$

krivka c pre iné prierezy

kde h je celková výška prierezu;

t_f hrúbka tlačenej pásnice.

POZNÁMKA B. – Stratu stability klopením bočne podopretých prvkov, ktoré sa používajú v konštrukciách budov pozri tiež v prílohe BB.3.

NB.3 Pružný kritický moment pre nosníky s konštantným a tuhým nepretvárnym prierezom

NB.3.1 Rozsah platnosti

(1) Postup uvedený v tejto prílohe je vhodný na výpočet kritického momentu prútov namáhaných zaťažením pôsobiacim kolmo na os najväčšej tuhosti y-y a to pre:

a) obojstranne podopreté nosníky s konštantným a tuhým nepretvárnym prierezom:

- dvojosovo symetrickým (pozri obrázok NB.3.1 a NB.3.2),
- jednoosovo symetrickým k hlavnej osi najväčšej tuhosti z-z (pozri obrázok NB.3.1),
- jednoosovo symetrickým k hlavnej osi najmenšej tuhosti y-y (pozri obrázok NB.3.2),
- prierezy bodovo symetrické vzhľadom k stredu šmyku S totožného s ťažiskom G (pozri obrázok NB.3.2),

b) konzoly s prierezom jednoosovo symetrickým k hlavnej osi najväčšej tuhosti z-z.

V ostatných prípadoch je možné postupovať podľa odbornej literatúry, iných noriem, využiť vhodné numerické postupy alebo výpočtové programy.

NB.3.2 Pružný kritický moment nosníkov

(1) Pre nosník s prierezom symetrickým k hlavnej osi najväčšej tuhosti z-z je pružný kritický moment M_{cr} daný všeobecným vzťahom:

$$M_{cr} = \mu_{cr} \frac{\pi \sqrt{E I_z G I_t}}{L} \quad (\text{NB.3.1})$$

kde pomerný kritický moment μ_{cr} je:

$$\mu_{cr} = \frac{C_1}{k_z} \left[\sqrt{1 + \kappa_{wt}^2 + (C_2 \zeta_g - C_3 \zeta_j)^2} - (C_2 \zeta_g - C_3 \zeta_j) \right] \quad (\text{NB.3.2})$$

κ_{wt} , ζ_g , ζ_j sú bezrozmerné parametre, ktoré okrem ohybovej tuhosti $E I_z$ a okrajových podmienok k_z a k_w , zohľadňujú vplyv

krutovej tuhosti $G I_t$ a výsekovej tuhosti $E I_w$:
$$\kappa_{wt} = \frac{\pi}{k_w L} \sqrt{\frac{E I_w}{G I_t}} \quad (\text{NB.3.3})$$

vzdialenosti pôsobiska zaťaženia od stredu šmyku S:
$$\zeta_g = \frac{\pi z_g}{k_z L} \sqrt{\frac{E I_z}{G I_t}} \quad (\text{NB.3.4})$$

nesymetrie prierezu:
$$\zeta_j = \frac{\pi z_j}{k_z L} \sqrt{\frac{E I_z}{G I_t}} \quad (\text{NB.3.5})$$

C_1 , C_2 a C_3 sú faktory, ktoré závisia od typu zaťaženia a podmienok uloženia koncov nosníka (pozri tabuľky NB.3.1 a NB.3.2);

L je dĺžka úseku nosníka medzi bodmi zabezpečenými proti vybočeniu kolmo na rovinu zaťaženia;

k_z a k_w sú faktory vzpernej dĺžky definujúce podopretie v rovine kolmej na rovinu zaťaženia (v rovine kolmej na os z-z), resp. podopretie pri krútení;

$$z_g = z_a - z_s \quad (\text{NB.3.6})$$

$$z_j = z_s - \frac{0,5}{I_y} \int_A (y^2 + z^2) z dA \quad (\text{NB.3.7})$$

z_a je súradnica pôsobiska zaťaženia vztiahnutá k ťažisku prierezu (pozri obrázok NB.3.1);

z_s súradnica stredu šmyku vztiahnutá k ťažisku prierezu;

z_g súradnica pôsobiska zaťaženia vztiahnutá k stredu šmyku.

POZNÁMKA 1. – Pozri NB.3.2(6) a (7) pre znamienkovú konvenciu z_j a z_g .

POZNÁMKA 2. – Pre prierezy symetrické k osi y - y (osi z - z) je $z_j = 0$ ($y_j = 0$).

POZNÁMKA 3. – Hodnota z_j sa môže vypočítať z približného vzťahu

$$z_j = 0,45\psi_f h_s \left(1 + \frac{c}{2h_f} \right) \quad (\text{NB.3.8})$$

kde:

c je výška okrajovej výstupy (pozri obrázok NB.3.1),

h_f je vzdialenosť medzi ťažiskami pásnic.

$$\psi_f = \frac{I_{fc} - I_{ft}}{I_{fc} + I_{ft}} \quad (\text{NB.3.9})$$

I_{fc} je moment druhého stupňa plochy pásnice za ohybu tlačenej k hlavnej osi najmenej tuhosti prierezu z - z

I_{ft} je moment druhého stupňa plochy pásnice za ohybu ťahanej k hlavnej osi najmenej tuhosti prierezu z - z

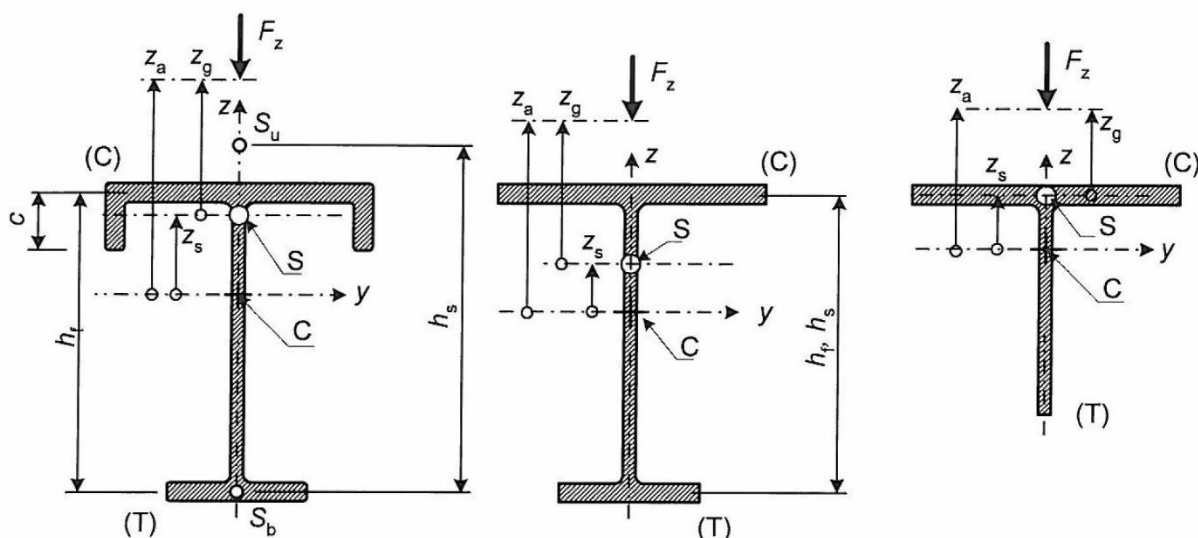
h_s je vzdialenosť medzi stredmi šmyku hornej a dolnej pásnice prierezu (pozri S_u a S_b v obrázku NB.3.1).

Pre I - prierez s nerovnakými pásnicami bez okrajových výstuh a približne aj pre prierez s okrajovými výstuhami je:

$$I_w = (1 - \psi_f^2) I_z (h_s / 2)^2 \quad (\text{NB.3.10})$$

(2) Faktory vzperných dĺžok k_y , k_z (definujúce okrajové podmienky v ohybe v rovine zaťaženia – kolmo k osi y - y , resp. v rovine kolmej na rovinu zaťaženia – kolmo k osi z - z) a k_w (definujúce okrajové podmienky v krútení) nadobúdajú hodnoty od 0,5 (obojsstranne votknutý nosník) do 1,0 (nosník uložený kĺbovo na oboch koncoch). Pre nosník s jedným koncom votknutým a druhým kĺbovo uloženým sú faktory vzperných dĺžok rovné 0,7.

(3) Faktor k_y súvisí s pootočením koncov nosníka okolo osi y - y , faktor k_z s pootočením koncov nosníka okolo osi z - z . Tieto faktory sú analogické s pomermi L_{cr}/L platnými pre tlačené prúty. Faktor k_w súvisí s depláciou koncov nosníka. Pokiaľ deplácii nie je zabránené špeciálnymi úpravami, $k_w = 1,0$.



(C) vlákna za ohybu tlačené, (T) vlákna za ohybu ťahané, S – stred šmyku, G – ťažisko, S_u , resp. S_b sú stredy šmyku hornej a dolnej pásnice

Obrázok NB.3.1 – Význam veličín a znamienková konvencia pre:

a) nosníky pri pôsobení gravitačného zaťaženia (F_z), b) konzoly pri pôsobení sania ($-F_z$)

(4) Hodnoty C_1 , C_2 a C_3 sú dané v tabuľkách NB.3.1 a NB.3.2 pre rôzne typy zaťaženia, ktoré sú definované priebehom ohybového momentu na dĺžke L medzi bodmi zabezpečenými proti vybočeniu z roviny zaťaženia. Hodnoty sú uvedené v závislosti od faktora k_z a v tabuľke NB.3.2 aj od faktora k_w .

(5) V prípadoch, keď $k_z = 1,0$, je možné faktor C_1 určiť pre ľubovoľný pomer koncových momentov (pozri priebehy momentov v tabuľke NB.3.1) približne zo vzťahu:

$$C_1 = (0,310 + 0,428\psi_f + 0,262\psi_f^2)^{-0.5} \quad (\text{NB.3.11})$$

(6) Znamienková konvencia na určenie z a z_f (pozri obrázok NB.3.1) je:

súradnica z je kladná pre tlačnú pásnicu. Ak sa z_f určuje pomocou vzťahu v NB.3.2(1), smeruje os z nahor v prípade gravitačného zaťaženia a nadol v prípade zaťaženia saním;

znamienko z_f je rovnaké ako znamienko parametra nesymetrie prierezu ψ_f . Znamienko ohybového momentu pre určenie ψ_f sa v prípade koncových momentov (pozri tabuľku NB.3.1) berie v mieste najväčšieho momentu, v prípade priečného zaťaženia (pozri tabuľku NB.3.2) v strede uvažovaného úseku o dĺžke L .

(7) Znamienková konvencia pre určenie z_g je:

pre gravitačné účinky je z_g kladné pri zaťažení pôsobiacom nad stredom šmyku;

vo všeobecnom prípade je z_g kladné pri zaťažení smerujúcom do stredu šmyku.

Tabuľka NB.3.1 – Hodnoty faktorov C_1 a C_3 pri zaťažení prúta koncovými momentmi v závislosti od hodnoty faktora k_z a parametrov ψ_f a k_{wt} .

Faktory uloženia koncov prúta: v rovine zaťaženia a primárneho ohybu $k_y = 1,0$, v krútení $k_w = 1,0$

Zaťaženie a podmienky podopretia. Faktor nesymetrie prierezu ψ_f	Pribeh ohybových momentov. Pomer koncových momentov ψ $M - \psi M -$ -strana - strana	$k_z^{2)}$	Hodnoty faktorov				
			$C_1^{1)}$		C_3		
			$C_{1,0}$	$C_{1,1}$	$\psi_f = -1$ 	$-0,9 \leq \psi_f \leq 0$ 	$0 \leq \psi_f \leq 0,9$
 $k_y = 1, k_w = 1$ Beam M-side: $\psi_f \geq 0$ $\psi_f \leq 0$	 $M_{cr} \quad \psi = +1$	1,0	1,000	1,000	1,000		
		0,7L	1,016	1,100	1,025		1,000
		0,7R	1,016	1,100	1,025		1,000
	0,5	1,000	1,127	1,019			
	 $M_{cr} \quad \psi = +3/4$	1,0	1,139	1,141	1,000		
		0,7L	1,210	1,313	1,050		1,000
		0,7R	1,109	1,201	1,000		
	0,5	1,139	1,285	1,017			
	 $M_{cr} \quad \psi = +1/2$	1,0	1,312	1,320	1,150	1,000	
		0,7L	1,480	1,616	1,160		1,000
		0,7R	1,213	1,317	1,000		
	0,5	1,310	1,482	1,150	1,000		
	 $M_{cr} \quad \psi = +1/4$	1,0	1,522	1,551	1,290	1,000	
		0,7L	1,853	2,059	1,600	1,260	1,000
		0,7R	1,329	1,467	1,000		
	0,5	1,516	1,730	1,350	1,000		
	 $M_{cr} \quad \psi = 0$	1,0	1,770	1,847	1,470	1,000	
		0,7L	2,331	2,683	2,000	1,420	1,000
0,7R		1,453	1,592	1,000			
0,5	1,753	2,027	1,500	1,000			
 $M_{cr} \quad \psi = -1/4$	1,0	2,047	2,207	1,65	1,000	0,850	
	0,7L	2,827	3,322	2,40	1,550	0,850	-0,30
	0,7R	1,582	1,748	1,38	0,850	0,700	0,20
0,5	2,004	2,341	1,75	1,000	0,650	-0,25	
 $M_{cr} \quad \psi = -1/2$	1,0	2,331	2,591	1,85	1,000	$1,3 - 1,2\psi_f$	-0,70
	0,7L	3,078	3,399	2,70	1,450	$1 - 1,2\psi_f$	-1,15
	0,7R	1,711	1,897	1,45	0,780	$0,9 - 0,75\psi_f$	-0,53
0,5	2,230	2,579	2,00	0,950	$0,75 - \psi_f$	-0,85	
 $M_{cr} \quad \psi = -3/4$	1,0	2,547	2,852	2,00	1,000	$0,55 - \psi_f$	-1,45
	0,7L	2,592	2,770	2,00	0,850	$0,23 - 0,9\psi_f$	-1,55
	0,7R	1,829	2,027	1,55	0,700	$0,68 - \psi_f$	-1,07
0,5	2,352	2,606	2,00	0,850	$0,35 - \psi_f$	-1,45	
 $M_{cr} \quad \psi = -1$	1,0	2,555	2,733	2,00	$-\psi_f$		-2,00
	0,7L	1,921	2,103	1,55	0,380	-0,580	-1,55
	0,7R	1,921	2,103	1,55	0,580	-0,380	-1,55
0,5	2,223	2,390	1,88	$0,125 - 0,7\psi_f$	$-0,125 - 0,7\psi_f$	-1,88	

Poznámky:

¹⁾ $C_1 = C_{1,0} + (C_{1,1} - C_{1,0})k_{wt} \leq C_{1,1}$, ($C_1 = C_{1,0}$ pre $k_{wt} = 0$, $C_1 = C_{1,1}$ pre $k_{wt} \geq 1$)

²⁾ $k_z = 0,7 L$ znamená, že votknutý je ľavý koniec, $k_z = 0,7 R$ znamená, že votknutý je pravý koniec nosníka pri strate stability ohybom kolmo k osi z-z.

Tabuľka NB.3.2 – Hodnoty faktorov C_1 , C_2 a C_3 pre rôzne typy priečneho zaťaženia v závislosti od hodnôt faktorov k_y , k_z , k_w a parametrov ψ_f a κ_{wt}

Zaťaženie a podmienky podopretia	Faktory vzperných dĺžok			Hodnoty faktorov							
	k_y	k_z	k_w	$C_1^{1)}$		C_2			C_3		
				$C_{1,0}$	$C_{1,1}$	\perp $\psi_f = -1$	I I I $-0,9 \leq \psi_f \leq 0,9$	\top $\psi_f = 1$	\perp $\psi_f = -1$	I I I $-0,9 \leq \psi_f \leq 0,9$	\top $\psi_f = 1$
	1	1	1	1,127	1,132	0,33	0,459	0,50	0,93	0,525	0,38
	1	1	0,5	1,128	1,231	0,33	0,391	0,50	0,93	0,806	0,38
	1	0,5	1	0,947	0,997	0,25	0,407	0,40	0,84	0,478	0,44
	1	0,5	0,5	0,947	0,970	0,25	0,310	0,40	0,84	0,674	0,44
	1	1	1	1,348	1,363	0,52	0,553	0,42	1,00	0,411	0,31
	1	1	0,5	1,349	1,452	0,52	0,580	0,42	1,00	0,666	0,31
	1	0,5	1	1,030	1,087	0,40	0,449	0,42	0,80	0,338	0,31
	1	0,5	0,5	1,031	1,067	0,40	0,437	0,42	0,80	0,516	0,31
	1	1	1	1,038	1,040	0,33	0,431	0,39	0,93	0,562	0,39
	1	1	0,5	1,039	1,148	0,33	0,292	0,39	0,93	0,878	0,39
	1	0,5	1	0,922	0,960	0,28	0,404	0,30	0,88	0,539	0,50
	1	0,5	0,5	0,922	0,945	0,28	0,237	0,30	0,88	0,772	0,50
						$\psi_f = -1$	$-0,5 \leq \psi_f \leq 0,5$	$\psi_f = 1$	$\psi_f = -1$	$-0,5 \leq \psi_f \leq 0,5$	$\psi_f = 1$
	0,5	1	1	2,576	2,608	1,00	1,562	0,15	1,00	-0,859	-1,99
	0,5	0,5	1	1,490	1,515	0,56	0,900	0,08	0,61	-0,516	-1,20
	0,5	0,5	0,5	1,494	1,746	0,56	0,825	0,08	0,61	0,002712	-1,20
	0,5	1	1	1,683	1,726	1,20	1,388	0,07	1,15	-0,716	-1,35
	0,5	0,5	1	0,936	0,955	0,69	0,763	0,03	0,64	-0,406	-0,76
	0,5	0,5	0,5	0,937	1,057	0,69	0,843	0,03	0,64	-0,0679	-0,76

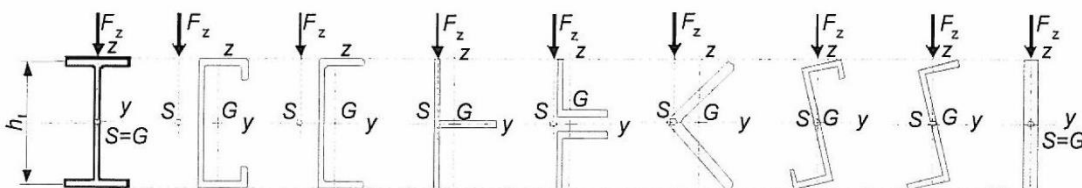
Poznámky:

1) $C_1 = C_{1,0} + (C_{1,1} - C_{1,0})\kappa_{wt} \leq C_{1,1}$, ($C_1 = C_{1,0}$ pre $\kappa_{wt} = 0$, $C_1 = C_{1,1}$ pre $\kappa_{wt} \geq 1$)

2) Parameter ψ_f sa vzťahuje k strediu rozpätia.

3) Hodnoty kritického momentu M_{cr} sa vzťahujú na prierez, v ktorom pôsobí M_{max} .

NB.3.3 Čiastkové prípady: nosníky so symetrickým priezom vzhľadom k hlavnej osi najväčšej tuhosti y-y a s bodovo symetrickým priezom (obrázok NB.3.2)



Obrázok NB.3.2 – Priezy prútov symetrické k hlavnej osi najväčšej tuhosti y-y alebo bodovo symetrické k strediu šmyku S totožného s ťažiskom G

(1) Pre nosníky so symetrickým prierezom vzhľadom k hlavnej osi najväčšej tuhosti y-y, s bodovo symetrickým prierezom, ktoré sú namáhané zaťažením pôsobiacim kolmo na hlavnú os najväčšej tuhosti y-y v rovine prechádzajúcej stredom šmyku S (obrázok NB.3.2) je $z_1 = 0$ a vzťah (NB.3.2) sa zjednoduší na vzťah:

$$\mu_{cr} = \frac{C_1}{k_z} \left[\sqrt{1 + \kappa_{wt}^2 + (C_2 \zeta_g)^2} - C_2 \zeta_g \right] \quad (\text{NB.3.12})$$

(2) Pre nosníky namáhané koncovými momentmi $C_2 = 0$ a pre priečne zaťažené prúty s pôsobiskom zaťaženia v strede šmyku S je $z_g = 0$. Pre tieto prípady sa (NB.3.12) zjednoduší na vzťah:

$$\mu_{cr} = \frac{C_1}{k_z} \sqrt{1 + \kappa_{wt}^2} \quad (\text{NB.3.13})$$

(3) Ak platí aj $\kappa_{wt} = 0$:

$$\mu_{cr} = C_1 / k_z \quad (\text{NB.3.14})$$

(4) Pre klbovo podopretý nosník v rovine kolmej na os z-z, ktorý je namáhaný rovnako veľkými proti sebe pôsobiacimi koncovými momentmi ($\psi = 1$) je $k_z = 1$ a $C_1 = 1$, je:

$$\mu_{cr} = 1 \quad (\text{NB.3.15})$$

Je to základný prípad nosníka s nedeplanujúcim prierezom ($I_w = 0$), ktorý je klbovo podopretý vzhľadom na vybočenie z roviny z-z ($k_z = 1$) a vzhľadom na krútenie okolo osi x-x ($k_w = 1$) a je namáhaný konštantným ohybovým momentom ($\psi = 1$, $C_1 = 1$). Pre takýto prípad platí vzťahný pružný kritický moment

$$M_{cr,0} = \frac{\pi \sqrt{EI_z GI_t}}{L} \quad (\text{NB.3.16})$$

(5) Pre nosníky s prierezmi podľa NB.3.3 podopreté na oboch koncoch (s okrajovými podmienkami definovanými faktormi vzpernej dĺžky $k_y = 1$, $k_z = 1$, $0,5 \leq k_w \leq 1$) a pre úseky nosníkov medzi bočnými podopretiami, ktoré sú namáhané ľubovoľným zaťažením (napr. nerovnakými koncovými momentmi nosníkov alebo ich úsekov, kombinovanými s ľubovoľným medziľahlým priečnym zaťažením), sa môže použiť na výpočet približnej hodnoty pružného kritického momentu M_{cr} vo vzorcoch (NB.3.13) a (NB.3.14) hodnota faktora C_1 :

$$C_1 = \frac{1,7 |M_{max}|}{\sqrt{M_{0,25}^2 + M_{0,5}^2 + M_{0,75}^2}} \leq 2,5, \quad (\text{NB.3.17})$$

kde

M_{max} je najväčší návrhový ohybový moment,

$M_{0,25}$, $M_{0,75}$ sú návrhové ohybové momenty v štvrtinách a

$M_{0,5}$ je návrhový ohybový moment v strede rozpätia nosníka alebo v strede dĺžky úseku nosníka medzi susednými bočnými podopretiami.

(6) Faktor C_1 definovaný vzorcom (NB.3.17) sa môže použiť aj v (NB.3.12) ale iba v kombinácii so zodpovedajúcou hodnotou faktora C_2 platnou pre dané zaťažovacie a okrajové podmienky. Pre šesť prípadov s okrajovými podmienkami $k_y = 1$, $k_z = 1$, $0,5 \leq k_w \leq 1$ možno nájsť hodnotou faktora C_2 v tabuľke NB.3.2. Zjednodušene možno pre tieto prípady uvážiť $C_2 = 0,5$.

(7) V prípade spojitého nosníka je možné použiť nasledovný približný postup. Účinok spojitosti susedných úsekov pri bočnom vybočení sa zanedbá a každý z úsekov sa vyšetruje akoby bol bočne jednoducho podopretý. Strata stability sa analyzuje pre každý úsek a pre výpočet hodnoty faktora C_1 zo vzorca (NB.3.17) sa uváži priebeh ohybových momentov po dĺžke L príslušného úseku. Najmenší z kritických momentov vypočítaných pre všetky úseky je pružným kritickým momentom spojitého nosníka. Tento postup vedie k odhadu, ktorý sa k presnej hodnote blíži zdoľa.

NB.3.4 Konzoly s konštantným prierezom symetrickým k hlavnej osi najmenej tuhosti z-z

(1) V prípade konzoly s konštantným prierezom symetrickým k hlavnej osi najmenej tuhosti z-z, namáhanej zaťažením pôsobiacim v rovine kolmo na hlavnú osi najväčšej tuhosti, sa pružný kritický moment vypočíta podľa vzťahu (NB.3.1), kde pomerný kritický moment μ_{cr} je daný v tabuľke NB.3.3 a tabuľke NB.3.4.

(2) Znamienková konvencia na určenie z_j a z_g je daná v NB.3.2(6) a (7).

Tabuľka NB.3.3 – Pomerný kritický moment μ_{cr} pre konzolu ($k_y = k_z = k_w = 2$) zaťaženú osamelým bremenom F pôsobiacim na konci konzoly F

Zaťaženie a podmienky podopretia	$\frac{\pi}{L} \sqrt{\frac{EI_w}{GI_t}} = k_w \kappa_{wt} = \kappa_{wt0}$	$\frac{\pi z_g}{L} \sqrt{\frac{EI_z}{GI_t}} = k_z \zeta_g$	$\frac{\pi z_j}{L} \sqrt{\frac{EI_z}{GI_t}} = k_z \zeta_j = \zeta_{j0}$							
			$\begin{matrix} \downarrow (T) \\ \uparrow (C) \end{matrix}$	$\begin{matrix} \uparrow (C) \\ \downarrow (T) \end{matrix}$	$\begin{matrix} \downarrow (T) \\ \uparrow (C) \end{matrix}$	$\begin{matrix} \uparrow (C) \\ \downarrow (T) \end{matrix}$	$\begin{matrix} \downarrow (T) \\ \uparrow (C) \end{matrix}$	$\begin{matrix} \uparrow (C) \\ \downarrow (T) \end{matrix}$	$\begin{matrix} \downarrow (T) \\ \uparrow (C) \end{matrix}$	
			-4	-2	-1	0	1	2	4	
	0	4	0,107	0,156	0,194	0,245	0,316	0,416	0,759	
		2	0,123	0,211	0,302	0,463	0,759	1,312	4,024	
		0	0,128	0,254	0,478	1,280	3,178	5,590	10,730	
		-2	0,129	0,258	0,508	1,619	3,894	6,500	11,860	
		-4	0,129	0,258	0,511	1,686	4,055	6,740	12,240	
	0,5	4	0,151	0,202	0,240	0,293	0,367	0,475	0,899	
		2	0,195	0,297	0,393	0,560	0,876	1,528	5,360	
		0	0,261	0,495	0,844	1,815	3,766	6,170	11,295	
		-2	0,329	0,674	1,174	2,423	4,642	7,235	12,595	
		-4	0,364	0,723	1,235	2,529	4,843	7,540	13,100	
	1	4	0,198	0,257	0,301	0,360	0,445	0,573	1,123	
			2	0,268	0,391	0,502	0,691	1,052	1,838	6,345
			0	0,401	0,750	1,243	2,431	4,456	6,840	11,920
			-2	0,629	1,326	2,115	3,529	5,635	8,115	13,365
			-4	0,777	1,474	2,264	3,719	5,915	8,505	13,960
2		4	0,335	0,428	0,496	0,588	0,719	0,916	1,795	
		2	0,461	0,657	0,829	1,111	1,630	2,698	7,815	
		0	0,725	1,321	2,079	3,611	5,845	8,270	13,285	
		-2	1,398	3,003	4,258	5,865	7,845	10,100	15,040	
		-4	2,119	3,584	4,760	6,360	8,385	10,715	15,825	
4		4	0,845	1,069	1,230	1,443	1,739	2,168	3,866	
		2	1,159	1,614	1,992	2,569	3,498	5,035	10,345	
		0	1,801	3,019	4,231	6,100	8,495	11,060	16,165	
		-2	3,375	6,225	8,035	9,950	11,975	14,110	18,680	
		-4	5,530	8,130	9,660	11,375	13,285	15,365	19,925	

a) Pre $z_j = 0$, $z_g = 0$ a $\kappa_{wt0} \leq 8$: $\mu_{cr} = 1,27 + 1,14 \kappa_{wt0} + 0,017 \kappa_{wt0}^2$.

b) Pre $z_j = 0$, $-4 \leq \zeta_g \leq 4$ a $\kappa_{wt} \leq 4$ sa μ_{cr} môže vypočítať aj zo vzťahov (NB.3.12) a (NB.3.13),

v ktorých sa použijú nasledovné približné hodnoty faktorov C_1 , C_2 :

$$C_1 = 2,56 + 4,675 \kappa_{wt} - 2,62 \kappa_{wt}^2 + 0,5 \kappa_{wt}^3, \quad \text{ak } \kappa_{wt} \leq 2$$

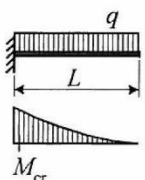
$$C_1 = 5,55 \quad \text{ak } \kappa_{wt} > 2$$

$$C_2 = 1,255 + 1,566 \kappa_{wt} - 0,931 \kappa_{wt}^2 + 0,245 \kappa_{wt}^3 - 0,024 \kappa_{wt}^4, \quad \text{ak } \zeta_g \geq 0$$

$$C_2 = 0,192 + 0,585 \kappa_{wt} - 0,054 \kappa_{wt}^2 - (0,032 + 0,102 \kappa_{wt} - 0,013 \kappa_{wt}^2) \zeta_g, \quad \text{ak } \zeta_g < 0.$$

c) V tabuľke NB.3.3 sa má použiť nelineárna interpolácia hodnôt.

Tabuľka NB.3.4 – Pomerný kritický moment μ_{cr} pre konzolu ($k_y = k_z = k_w = 2$) zaťaženú rovnomerným zaťažením q po celej dĺžke konzoly

Zaťaženie a podmienky podopretia	$\frac{\pi}{L} \sqrt{\frac{EI_w}{GI_t}} = k_w \kappa_{wt} = \kappa_{wt0}$	$\frac{\pi z_g}{L} \sqrt{\frac{EI_z}{GI_t}} = k_z \zeta_g = \zeta_{g0}$	$\frac{\pi z_j}{L} \sqrt{\frac{EI_z}{GI_t}} = k_z \zeta_j = \zeta_{j0}$							
			$\begin{matrix} \uparrow (T) \\ \downarrow (C) \end{matrix}$	$\begin{matrix} \uparrow (C) \\ \downarrow (T) \end{matrix}$	$\begin{matrix} \uparrow (T) \\ \downarrow (C) \end{matrix}$	$\begin{matrix} \uparrow (C) \\ \downarrow (T) \end{matrix}$	$\begin{matrix} \uparrow (T) \\ \downarrow (C) \end{matrix}$	$\begin{matrix} \uparrow (C) \\ \downarrow (T) \end{matrix}$	$\begin{matrix} \uparrow (T) \\ \downarrow (C) \end{matrix}$	
			-4	-2	-1	0	1	2	4	
	0	4	0 113	0 173	0 225	0 304	0 431	0 643	1 718	
		2	0 126	0 225	0 340	0 583	1 165	2 718	13 270	
		0	0 132	0 263	0 516	2 054	6 945	12 925	25 320	
		-2	0 134	0 268	0 537	3 463	10 490	17 260	30 365	
		-4	0 134	0 270	0 541	4 273	12 715	20 135	34 005	
	0,5	4	0 213	0 290	0 352	0 443	0 586	0 823	2 046	
		2	0 273	0 421	0 570	0 854	1 505	3 229	14 365	
		0	0 371	0 718	1 287	3 332	8 210	14 125	26 440	
		-2	0 518	1 217	2 418	6 010	12 165	18 685	31 610	
		-4	0 654	1 494	2 950	7 460	14 570	21 675	35 320	
	1	4	0 336	0 441	0 522	0 636	0 806	1 080	2 483	
		2	0 449	0 663	0 865	1 224	1 977	3 873	15 575	
			0	0,664	1,263	2,172	4,762	9,715	15,530	27,735
			-2	1 109	2 731	4 810	8 695	14 250	20 425	33 075
			-4	1 623	3 558	6 025	10 635	16 880	23 555	36 875
2		4	0 646	0 829	0 965	1 152	1 421	1 839	3 865	
		2	0 885	1 268	1 611	2 185	3 282	5 700	18 040	
		0	1 383	2 550	4 103	7 505	12 770	18 570	30 570	
		-2	2 724	6 460	9 620	13 735	18 755	24 365	36 365	
		-4	4 678	8 635	11 960	16 445	21 880	27 850	40 400	
4		4	1 710	2 168	2 500	2 944	3 565	4 478	8 260	
		2	2 344	3 279	4 066	5 285	7 295	10 745	23 150	
		0	3 651	6 210	8 845	13 070	18 630	24 625	36 645	
		-2	7 010	13 555	17 850	22 460	27 375	32 575	43 690	
		-4	12 270	18 705	22 590	26 980	31 840	37 090	48 390	

a) Pre $z_j = 0$, $z_g = 0$ a $\kappa_{wt0} \leq 8$: $\mu_{cr} = 2,04 + 2,68 \kappa_{wt0} + 0,021 \kappa_{wt0}^2$.

b) Pre $z_j = 0$, $-4 \leq \zeta_g \leq 4$ a $\kappa_{wt} \leq 4$, sa μ_{cr} môže vypočítať aj zo vzťahov (NB.3.12) a (NB.3.13),

v ktorých sa použijú nasledovné približné hodnoty faktorov C_1 , C_2 :

$$C_1 = 4,11 + 11,2 \kappa_{wt} - 5,65 \kappa_{wt}^2 + 0,975 \kappa_{wt}^3, \quad \text{ak } \kappa_{wt} \leq 2$$

$$C_1 = 12 \quad \text{ak } \kappa_{wt} > 2$$

$$C_2 = 1,661 + 1,068 \kappa_{wt} - 0,609 \kappa_{wt}^2 + 0,153 \kappa_{wt}^3 - 0,014 \kappa_{wt}^4, \quad \text{ak } \zeta_g \geq 0$$

$$C_2 = 0,535 + 0,426 \kappa_{wt} - 0,029 \kappa_{wt}^2 - (0,061 + 0,074 \kappa_{wt} - 0,0085 \kappa_{wt}^2) \zeta_g, \quad \text{ak } \zeta_g < 0.$$

c) V tabuľke NB.3.4 sa má použiť nelineárna interpolácia hodnôt.